
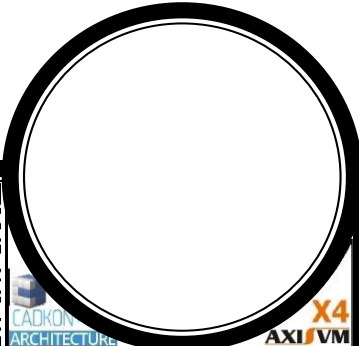



VYPRACOVAL		<b>STATICI.EU</b> Ing. Jiří VIESNER			
Ing. Jiří Viesner					
INVESTOR: MĚSTO KOSTELEČ NAD ORLÍČÍ, PALACKÉHO NÁMĚSTÍ 38, 517 41 KOSTELEČ NAD ORLÍČÍ			DRUH PD	DSP	
AKCE:  REKONSTRUKCE ZTI - DŮM S PEČOVATELSKOU SLUŽBOU čp. 1414, KOSTELEČ NAD ORLÍČÍ p. č. 1840/1, 1840/9, 1837 k.ú. Kostelec nad Orlicí [670197] Frošova ul. č.p.1414, Kostelec nad Orlicí 517 41			Č. ZAKÁZKY	S34-07-2017	
			DATUM	07-2017	
			FORMÁT	A4	
			KÓTY V	mm	
OBSAH: STAVEBNĚ KONSTRUKČNÍ ČÁST TECHNICKÁ ZPRÁVA A STATICKÝ VÝPOČET			MĚŘÍTKO:	1:50	Č. PARÉ: VÝKRES Č.: D.1.2.

## **TECHNICKÁ ZPRÁVA**

### **POPIS NAVRŽENÉHO KONSTRUKČNÍHO SYSTÉMU STAVBY**

Objekt byl postaven jako podélný nosný stěnový systém. Svislé nosné obvodové konstrukce jsou kombinací cihel CD INA A + INA B o celkové tl. 500mm (niky pod okny tl. zdiva cca 250mm. Stavba je založena na betonových základových pasech. Stávající fasáda je zateplena polystyrenem o tl. cca 70mm a tl. 60mm MW. Vnitřní nosné stěny jsou vyzděny o celkové tl. 375 mm včetně omítek. Stropy jsou v části půdorysů z železobetonových panelů o tl. cca 215mm, z monolitických stropních desek především u schodišť a z části z hurdiskových skládaných stropů (v centrální části objektu). Stávající konstrukce střechy je z dřevěného krovu stojatá stolice. Střešní krytina je skládaná z betonových střešních tašek se sklonem cca 30°. Stavební práce budou probíhat zejména na fasádě objektu a spočívají v obložení fasády minerálními izolačními deskami dle požadavků požárně bezpečnostních předpisů pro „domovy s pečovatelskou službou“. Při těchto stavebních pracích se nepředpokládají žádné výkopové práce. K zásahu do nosných konstrukcí ani budování nových nedochází vyjma nových dveří v přízemí. V tomto místě je navržen nový překlad z válcovaných profilů. Pro osazení nové technologie přípravy TUV bude pod nové zásobníky provedeno nové ocelové podložení pro překlenutí energokanáľů. Provizorní vstupy do těchto kanálů budou opětovně zaslepeny pomocí původních žb desek. Prostor po vybouraném záklopu kanálu PŽ4 bude zaklopen monolitickou dobetonávky za použití trapézového plechu jako ztraceného bednění.

### **NAVRŽENÉ MATERIÁLY**

Betonové konstrukce nabetonávky

Konstrukce základů C16/20 XC1

<b>C 16/20 : EC 2</b>	
Základní materiálové charakteristiky	
Modul pružnosti	$E_{cm} = 29000,0 \text{ MPa}$
Speciální materiálové charakteristiky	
Válcová pevnost v tlaku	$f_{ck} = 16,0 \text{ MPa}$
Pevnost v tahu	$f_{ctm} = 1,9 \text{ MPa}$

Ocelové konstrukce

<b>EN 10210-1 : S 235 : EN 10 210-1</b>	
Základní materiálové charakteristiky	
Modul pružnosti	$E = 210,0E+03 \text{ MPa}$
Modul pružnosti ve smyku	$G = 81,00E+03 \text{ MPa}$
Součinitel teplotní roztažnosti	$\alpha_t = 12,00E-06 \text{ 1/K}$
Měrná tíha	$\gamma = 78,50 \text{ kN/m}^3$
Speciální materiálové charakteristiky	
Mez kluzu	$f_y = 235,0E+00 \text{ MPa}$
Mez pevnosti v tahu	$f_u = 360,0E+00 \text{ MPa}$

### **HODNOTY UŽITNÝCH A KLIMATICKÝCH ZATÍŽENÍ**

#### **1 Protokol zatížení: podlaha**

<b>Zatížení stálé</b>	Charakt. [kN/m <sup>2</sup> ]	Souč. [-]	Návrh. [kN/m <sup>2</sup> ]
Vlastní tíha konstrukce			
Polyvinylchlorid (PVC) měkčený (novoplast) (13,00 × 0,00)	0,07	1,35	0,09
Cementový beton obyčejný nevibrovaný (tř.B30 a nižší) (23,00 × 0,08)	1,84	1,35	2,48
Polystyrén pěnový emulzní (1,50 × 0,02)	0,03	1,35	0,04
Součet vlastní tíhy konstrukce	1,94	1,35	2,62
Součet stálého zatížení	1,94	1,35	2,62
Součet zatížení	1,94	1,35	2,62

## 2 Protokol zatížení: zásobník

Zatížení stálé	Charakt. [kN]	Souč. [-]	Návrh. [kN]
Vlastní tíha konstrukce			
ZÁSOBNÍK	1,58	1,35	2,13
Součet stálého zatížení	1,58	1,35	2,13
Součet zatížení	1,58	1,35	2,13

## 3 Protokol zatížení: NÁPLŇ

Zatížení proměnné	Charakt. [kN]	Souč. [-]	Návrh. [kN]
Užitné zatížení			
náplň - dlouh.	4,33	1,50	6,50
Součet proměnného zatížení	4,33	1,50	6,50
Součet zatížení	4,33	1,50	6,50

## 4 Protokol zatížení: střecha

Zatížení stálé	Charakt. [kN/m <sup>2</sup> ]	Souč. [-]	Návrh. [kN/m <sup>2</sup> ]
Vlastní tíha konstrukce			
Tašková krytina jednod.z drážk.tašek tažených nebo ražených (0,55 × )	0,55	1,35	0,74
Součet vlastní tíhy konstrukce	0,55	1,35	0,74
Součet stálého zatížení	0,55	1,35	0,74
Součet zatížení	0,55	1,35	0,74

## 5 Protokol zatížení: krov

Zatížení stálé	Charakt. [kN/m <sup>2</sup> ]	Souč. [-]	Návrh. [kN/m <sup>2</sup> ]
Vlastní tíha konstrukce			
Průřez: obdélník (0,07 / 1,00)	1,20	1,35	1,62
Součet stálého zatížení	1,20	1,35	1,62
Součet zatížení	1,20	1,35	1,62

## 6 Protokol zatížení: zdivo

Zatížení stálé	Charakt. [kN/m <sup>2</sup> ]	Souč. [-]	Návrh. [kN/m <sup>2</sup> ]
Vlastní tíha konstrukce			
Zdivo tl. 36,5 cm PTH (3,72 × )	3,72	1,35	5,02
Součet stálého zatížení	3,72	1,35	5,02
Součet zatížení	3,72	1,35	5,02

## 7 Protokol zatížení: stropy

Zatížení stálé	Charakt. [kN/m <sup>2</sup> ]	Souč. [-]	Návrh. [kN/m <sup>2</sup> ]
Vlastní tíha konstrukce			
Dlaždice a obkládačky keramické (22,00 × 0,01)	0,22	1,35	0,30
Cementový beton obyčejný nevibrovaný (tř.B30 a nižší) (23,00 × 0,08)	1,84	1,35	2,48
Isover NF 333 V (0,88 × 0,01)	0,01	1,35	0,01
PANEL (3,55 × 0,01)	3,55	1,35	4,79
Malty a omítky s hutným kamenivem cementové (21,00 × 0,02)	0,42	1,35	0,57
Součet vlastní tíhy konstrukce	6,04	1,35	8,15
Součet stálého zatížení	6,04	1,35	8,15
Součet zatížení	6,04	1,35	8,15

## 8 Protokol zatížení: proměnné užité

Zatížení proměnné	Charakt. [kN/m <sup>2</sup> ]	Souč. [-]	Návrh. [kN/m <sup>2</sup> ]
Užitné zatížení			
Proměnné užité - dlouh.	1,50	1,50	2,25
Součet proměnného zatížení	1,50	1,50	2,25
Součet zatížení	1,50	1,50	2,25

## 9 Protokol zatížení: Zatížení sněhem

Zatížení podle ČSN EN 1991-1-3

Sněhová oblast:	II
Základní tíha sněhu $s_k$	= 1,00 kN/m <sup>2</sup>
Typ krajiny:	normální
Součinitel expozice $C_e$	= 1,00
Tepelný součinitel $C_t$	= 1,00
Součinitel zatížení $\gamma_f$	= 1,50

### Tvar zastřešení: sedlová střecha

Sklon střechy $\alpha_1$	= 30,0 °
Sklon střechy $\alpha_2$	= 30,0 °
Tvarový součinitel $\mu_1(\alpha_1)$	= 0,80
Tvarový součinitel $\mu_1(\alpha_2)$	= 0,80

### Charakteristické hodnoty zatížení (v závorce návrhové hodnoty)

Případ (i) - zatížení nenavátým sněhem:

$$s_1 = 0,80 \text{ kN/m}^2 \text{ ( } 1,20 \text{ kN/m}^2 \text{ )}$$

$$s_2 = 0,80 \text{ kN/m}^2 \text{ ( } 1,20 \text{ kN/m}^2 \text{ )}$$

Případ (ii) - zatížení navátým sněhem:




$$s_1 = 0,40 \text{ kN/m}^2 \text{ ( } 0,60 \text{ kN/m}^2 \text{ )}$$

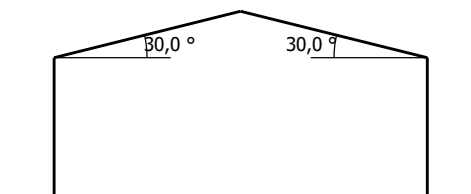
$$s_2 = 0,80 \text{ kN/m}^2 \text{ ( } 1,20 \text{ kN/m}^2 \text{ )}$$

Případ (iii) - zatížení navátým sněhem:

$$s_1 = 0,80 \text{ kN/m}^2 \text{ ( } 1,20 \text{ kN/m}^2 \text{ )}$$

$$s_2 = 0,40 \text{ kN/m}^2 \text{ ( } 0,60 \text{ kN/m}^2 \text{ )}$$

<b>Případ (i)</b>		0,80;(1,20) [kN/m <sup>2</sup> ]
<b>Případ (ii)</b>		0,40;(0,60) [kN/m <sup>2</sup> ]
<b>Případ (iii)</b>		0,80;(1,20) [kN/m <sup>2</sup> ]



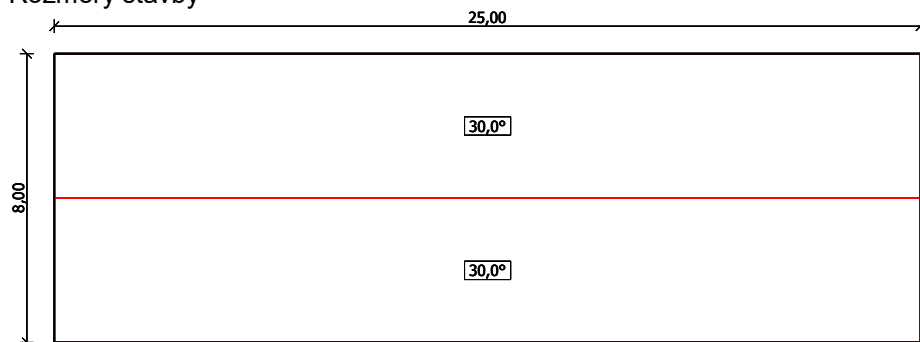
## 10 Protokol zatížení: Zatížení větrem

Zatížení podle ČSN EN 1991-1-4

Větrná oblast:		II
Rychlost větru	$v_{b0}$	= 25,00 m/s
Kategorie terénu:		II
Referenční výška budovy	$z_e$	= 12,30 m
Součinitel směru větru	$c_{dir}$	= 1,00
Součinitel ročního období	$c_{season}$	= 1,00
Měrná hmotnost vzduchu	$\rho$	= 0,000 kg/m <sup>3</sup>
Součinitel orografie	$c_o$	= 1,00
Maximální dynamický tlak	$q_p$	= 0,97 kN/m <sup>2</sup>
Součinitel zatížení	$\gamma_f$	= 1,50
Plocha pro stanovení $c_{pe}$	$A$	= 10,00 m <sup>2</sup>

### Střecha

Rozměry stavby

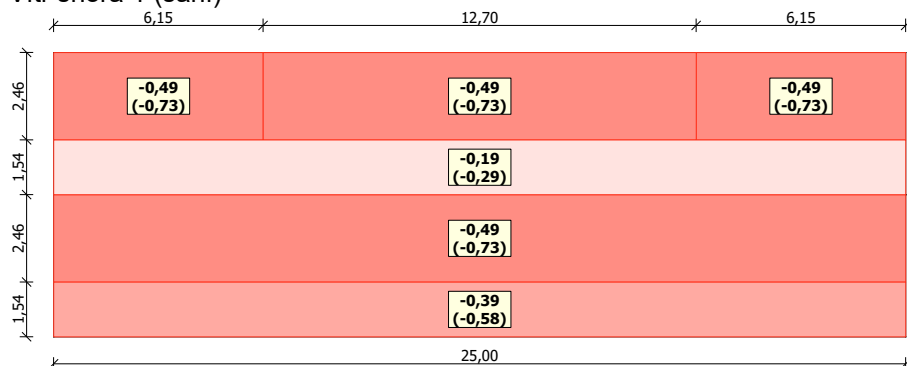


### Charakteristické hodnoty zatížení (v závorce návrhové hodnoty)

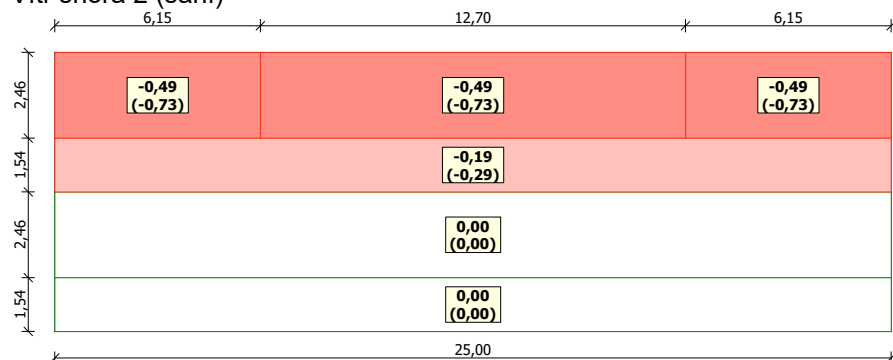
Vítr zleva (sání)



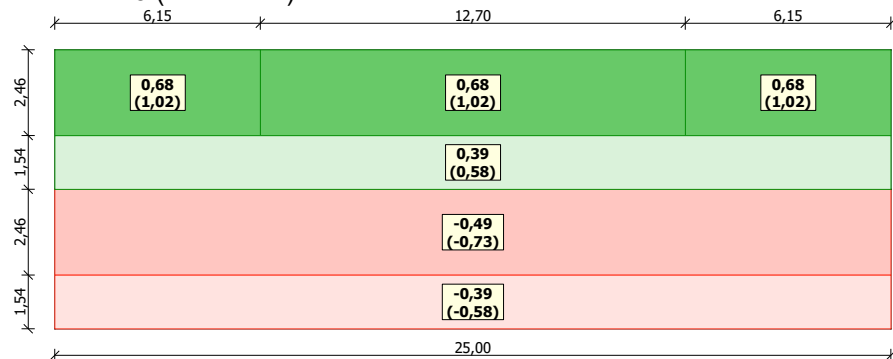
Vítr shora 1 (sání)



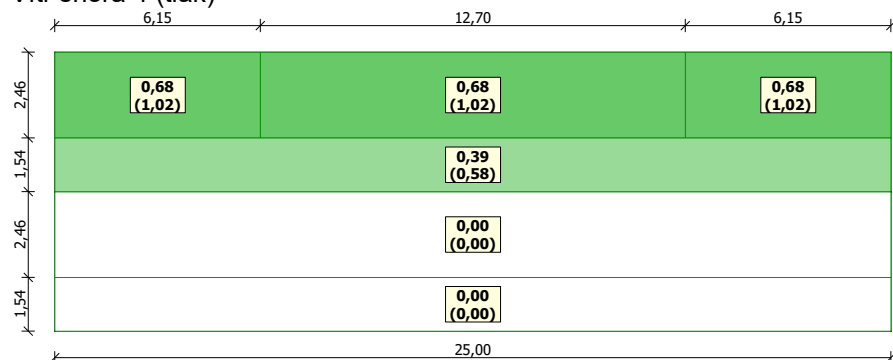
Vítr shora 2 (sání)



Vítr shora 3 (tlak a sání)



Vítr shora 4 (tlak)



## SEZNAM POUŽITÝCH DOKLADŮ

### b.1 výkresová dokumentace

- Architektonické a stavebně technické řešení stavby této dokumentace

### b.2. Předpisy a normy

- [Eurokód 0 - Zásady navrhování konstrukcí](#)
- [Eurokód 1 – Zatížení konstrukcí](#)
  - [Zatížení konstrukcí - Část 1-1: Obecná zatížení - Objemové tíhy, vlastní tíha a užitná zatížení pozemních staveb](#)
  - [Zatížení konstrukcí - Část 1-3: Obecná zatížení - Zatížení sněhem](#)
  - [Zatížení konstrukcí - Část 1-4: Obecná zatížení - Zatížení větrem](#)
- [Eurokód 2 - Navrhování betonových konstrukcí](#)
  - [Navrhování betonových konstrukcí - Část 1-1: Obecná pravidla a pravidla pro pozemní stavby](#)
- [Eurokód 3 - Navrhování ocelových konstrukcí](#)

- [Navrhování ocelových konstrukcí - Část 1-1: Obecná pravidla a pravidla pro pozemní stavby](#)

- [Zákon č. 268/2009 Sb. O územním plánování a stavebním řádu \(stavební zákon\)](#)
- [Vyhláška č. 398/1999 Sb. O obecných technických požadavcích na výstavbu](#)

### b.3. výpočtové programy

FIN EC – ZATÍŽENÍ	verze 1.117	(FINE, spol. s r.o.)
FIN EC – FIN 3D	verze 3.41	(FINE, spol. s r.o.)
FIN EC – OCEL	verze 3.30	(FINE, spol. s r.o.)
FIN EC – BETON 3D	verze 3.39	(FINE, spol. s r.o.)

## **STATICKÝ VÝPOČET** **POSOUZENÍ VYBRANÝCH KONSTRUKCÍ**

PODPORA ZÁSOBNÍKŮ

### 1 Vstupní údaje

#### 1.1 Styčníky

Typ a souřadnice styčníků:

č.	Typ	X [m]	Y [m]	Z [m]
1	globální	0,000	0,000	0,000
2	globální	0,000	0,800	0,000
3	relativní na dílci 1	0,000	0,400	0,000

Podpory styčníků:

č.	Souř. systém podpory	Posuny [MN/m]			Rotace [MNm]		
		X	Y	Z	X	Y	Z
1	globální	pevná	pevná	pevná	volná	pevná	pevná
2	globální	pevná	volná	pevná	volná	pevná	pevná

#### 1.2 Dílce

Typ, topologie a profily dílců:

č.	Typ	Zač. styč.	Kon. styč.	Průřez	Délka	Natočení	Materiál
					[m]	[°]	
1	Nosník	1	2	HE 100 A	0,800	0,00	EN 10210-1 : S 235

Uložení dílců ve styčnicích (0-volné, 1-pevné, tuhost pružiny, míra zabránění deplanaci):

č.	Na začátku dílce							Na konci dílce						
	Posuny [MN/m]			Natočení [MNm]			Bráněno deplanaci	Posuny [MN/m]			Natočení [MNm]			Bráněno deplanaci
	1	2	3	1	2	3		1	2	3	1	2	3	
1	1	1	1	1	1	1	0,000	1	1	1	1	1	1	0,000

#### 1.3 Parametry profilů dílců

Průřezové charakteristiky profilů dílců:

Průřez	Plocha průřezu	Smyk. plocha		Mom. setrv.		Sklon hl. os.
	A [mm²]	A <sub>z</sub> [mm²]	A <sub>y</sub> [mm²]	I <sub>y</sub> [mm⁴]	I <sub>z</sub> [mm⁴]	φ [°]
HE 100 A	2124	533	1628	3,49200E+06	1,33800E+06	0,00

Materiálové charakteristiky profilů dílců:

Materiál	Modul pružnosti	Smykový modul	Koef. tepl. rozt.	Měrná tíha
	E [MPa]	G [MPa]	$\alpha_t$ [1/K]	$\gamma$ [kN/m <sup>3</sup> ]
EN 10210-1 : S 235	210,0E+03	81,00E+03	12,00E-06	78,50

## 1.4 Zatěžovací stavy

č.	Název	Kód	Typ	$\gamma_f$ ( $\gamma_{f,inf}$ )*	Součinitele pro kombinace				
					$\xi$	Kateg.**	$\psi_0$	$\psi_1$	$\psi_2$
1	G1 vlastní tíha-stálé	Vlastní tíha	Stálé	1,35(0,90)	0,85	-	-	-	-
2	G2 silové-stálé podlaha	Silové	Stálé	1,35(0,90)	0,85	-	-	-	-
3	G3 silové-stálé zásobník	Silové	Stálé	1,35(0,90)	0,85	-	-	-	-
4	Q4 proměnné náplň	Silové	Proměnné dlouhodobé	1,50	-	D	0,70	0,70	0,60
5	Q5 silové-proměnné užité	Silové	Proměnné dlouhodobé	1,50	-	D	0,70	0,70	0,60

\*  $\gamma_{f,inf}$  pro příznivě působící stálá zatížení

\*\* Kategorie proměnných zatížení podle tabulky A1.1 v EN 1990

## 1.5 Zatížení styčníků

Styčník		Zatížení					
č.	Umístění	$F_x$ [kN]	$F_y$ [kN]	$F_z$ [kN]	$M_x$ [kNm]	$M_y$ [kNm]	$M_z$ [kNm]
Zatěžovací stav č.3 - G3 silové-stálé zásobník							
3	rel. k 1; 50,00 % od výchozího v ose 1	0,00	0,00	-1,05	0,00	0,00	0,00
Zatěžovací stav č.4 - Q4 proměnné náplň							
3	rel. k 1; 50,00 % od výchozího v ose 1	0,00	0,00	-2,89	0,00	0,00	0,00

## 1.6 Zatížení dílců

Dílec	Zatížení dílců
Zatěžovací stav č.2 - G2 silové-stálé podlaha	
Dílec č.1 1  ----  2, délka 0,800 m	Spojitě silové - Po délce ve směru globální osy Z $f = -0,66$ kN/m
Zatěžovací stav č.5 - Q5 silové-proměnné užité	
Dílec č.1 1  ----  2, délka 0,800 m	Spojitě silové - Po délce ve směru globální osy Z $f = -0,68$ kN/m

## 1.7 Kombinace pro výpočet podle 1.řádu

Kombinace 1. řád, pro posouzení mezního stavu únosnosti (MSÚ)

Číslo	Název a druh kombinace
	Složení
1	G1+G2+G3; základní kombinace $\gamma_{f,sup,1} \cdot G1 + \gamma_{f,sup,2} \cdot G2 + \gamma_{f,sup,3} \cdot G3$
2	Q5:G1+G2+G3; základní kombinace $\gamma_{f,sup,1} \cdot G1 + \gamma_{f,sup,2} \cdot G2 + \gamma_{f,sup,3} \cdot G3 + \gamma_{f,sup,5} \cdot Q5$
3	Q4:G1+G2+G3; základní kombinace $\gamma_{f,sup,1} \cdot G1 + \gamma_{f,sup,2} \cdot G2 + \gamma_{f,sup,3} \cdot G3 + \gamma_{f,sup,4} \cdot Q4$
4	Q4:G1+G2+G3+Q5; základní kombinace $\gamma_{f,sup,1} \cdot G1 + \gamma_{f,sup,2} \cdot G2 + \gamma_{f,sup,3} \cdot G3 + \gamma_{f,sup,4} \cdot Q4 + \gamma_{f,sup,5} \cdot \psi_{0,5} \cdot Q5$
5	Q5:G1+G2+G3+Q4; základní kombinace $\gamma_{f,sup,1} \cdot G1 + \gamma_{f,sup,2} \cdot G2 + \gamma_{f,sup,3} \cdot G3 + \gamma_{f,sup,4} \cdot \psi_{0,4} \cdot Q4 + \gamma_{f,sup,5} \cdot Q5$



**Kombinace 1. řád, pro posouzení mezního stavu použitelnosti (MSP)**

Číslo	Název a druh kombinace
	Složení
1	G1+G2+G3; charakteristická kombinace G1 + G2 + G3
2	Q5:G1+G2+G3; charakteristická kombinace G1 + G2 + G3 + Q5
3	Q4:G1+G2+G3; charakteristická kombinace G1 + G2 + G3 + Q4
4	Q4:G1+G2+G3+Q5; charakteristická kombinace G1 + G2 + G3 + Q4 + $\psi_{0,5} \cdot Q5$
5	Q5:G1+G2+G3+Q4; charakteristická kombinace G1 + G2 + G3 + $\psi_{0,4} \cdot Q4$ + Q5

## 2 Výsledky

### 2.1 Deformace pro kombinace I.řádu, MSP

#### 2.1.1 Extrémy deformací

**Kombinace 1. řád, pro posouzení mezního stavu použitelnosti (MSP)**

Kladné extrémy:

Deformace	Kombinace	Styčník	Hodnota
Posun X	-	-	0,0 mm
Posun Y	-	-	0,0 mm
Posun Z	-	-	0,0 mm
Rotace X	Kombinace 4	2	0,3 mrad
Rotace Y	-	-	0,0 mrad
Rotace Z	-	-	0,0 mrad

Záporné extrémy:

Deformace	Kombinace	Styčník	Hodnota
Posun X	-	-	0,0 mm
Posun Y	-	-	0,0 mm
Posun Z	Kombinace 4	3	-0,1 mm
Rotace X	Kombinace 4	1	-0,3 mrad
Rotace Y	-	-	0,0 mrad
Rotace Z	-	-	0,0 mrad

### 2.2 Vnitřní síly v s. s. průřezu pro kombinace I.řádu, MSÚ

#### 2.2.1 Extrémy vnitřních sil

**Kombinace 1. řád, pro posouzení mezního stavu únosnosti (MSÚ)**

Kladné extrémy:

Síla	Kombinace I.řád, MSÚ	Dílec	Pozice	Hodnota
N				
$V_y$				
$V_z$	Kombinace č.4	Dílec č.1 - 1  ----  2, délka 0,800 m	0,800 m	3,61 kN
$M_y$	Kombinace č.4	Dílec č.1 - 1  ----  2, délka 0,800 m	0,400 m	1,30 kNm
$M_z$				

Záporné extrémy:

Síla	Kombinace I.řád, MSÚ	Dílec	Pozice	Hodnota
N				
V <sub>y</sub>				
V <sub>z</sub>	Kombinace č.4	Dílec č.1 - 1  ----  2, délka 0,800 m	0,000 m	-3,61 kN
M <sub>y</sub>				
M <sub>z</sub>				

## 2.3 Vnitřní síly v s. s. průřezu pro kombinace I.řádu, MSP

### 2.3.1 Extrémy vnitřních sil

**Kombinace 1. řád, pro posouzení mezního stavu použitelnosti (MSP)**

Kladné extrémy:

Síla	Kombinace I.řád, MSP	Dílec	Pozice	Hodnota
N				
V <sub>y</sub>				
V <sub>z</sub>	Kombinace č.4	Dílec č.1 - 1  ----  2, délka 0,800 m	0,800 m	2,49 kN
M <sub>y</sub>	Kombinace č.4	Dílec č.1 - 1  ----  2, délka 0,800 m	0,400 m	0,89 kNm
M <sub>z</sub>				

Záporné extrémy:

Síla	Kombinace I.řád, MSP	Dílec	Pozice	Hodnota
N				
V <sub>y</sub>				
V <sub>z</sub>	Kombinace č.4	Dílec č.1 - 1  ----  2, délka 0,800 m	0,000 m	-2,49 kN
M <sub>y</sub>				
M <sub>z</sub>				

## 2.4 Reakce pro kombinace I.řádu, MSÚ

### 2.4.1 Extrémy reakcí

**Kombinace 1. řád, pro posouzení mezního stavu únosnosti (MSÚ)**

Kladné extrémy:

Max. reakce	Kombinace	Styčník	R <sub>x</sub> [kN]	R <sub>y</sub> [kN]	R <sub>z</sub> [kN]	RO <sub>x</sub> [kNm]	RO <sub>y</sub> [kNm]	RO <sub>z</sub> [kNm]
Max.R <sub>x</sub>	-	-	<b>0,00</b>	0,00	1,16	-	0,00	0,00
Max.R <sub>y</sub>	-	-	0,00	<b>0,00</b>	1,16	-	0,00	0,00
Max.R <sub>z</sub>	Kombinace 4	1	0,00	0,00	<b>3,61</b>	-	0,00	0,00
Max.RO <sub>y</sub>	-	-	0,00	0,00	1,16	-	<b>0,00</b>	0,00
Max.RO <sub>z</sub>	-	-	0,00	0,00	1,16	-	0,00	<b>0,00</b>

Záporné extrémy:

Max. reakce	Kombinace	Styčník	R <sub>x</sub> [kN]	R <sub>y</sub> [kN]	R <sub>z</sub> [kN]	RO <sub>x</sub> [kNm]	RO <sub>y</sub> [kNm]	RO <sub>z</sub> [kNm]
Min.R <sub>x</sub>	-	-	<b>0,00</b>	0,00	1,16	-	0,00	0,00
Min.R <sub>y</sub>	-	-	0,00	<b>0,00</b>	1,16	-	0,00	0,00
Min.R <sub>z</sub>	Kombinace 1	1	0,00	0,00	<b>1,16</b>	-	0,00	0,00
Min.RO <sub>y</sub>	-	-	0,00	0,00	1,16	-	<b>0,00</b>	0,00
Min.RO <sub>z</sub>	-	-	0,00	0,00	1,16	-	0,00	<b>0,00</b>

## 2.5 Reakce pro kombinace I.řádu, MSP

### 2.5.1 Extrémy reakcí

**Kombinace 1. řád, pro posouzení mezního stavu použitelnosti (MSP)**

Kladné extrémy:

Max. reakce	Kombinace	Styčník	R <sub>x</sub> [kN]	R <sub>y</sub> [kN]	R <sub>z</sub> [kN]	RO <sub>x</sub> [kNm]	RO <sub>y</sub> [kNm]	RO <sub>z</sub> [kNm]
Max.R <sub>x</sub>	-	-	<b>0,00</b>	0,00	0,86	-	0,00	0,00
Max.R <sub>y</sub>	-	-	0,00	<b>0,00</b>	0,86	-	0,00	0,00
Max.R <sub>z</sub>	Kombinace 4	1	0,00	0,00	<b>2,49</b>	-	0,00	0,00
Max.RO <sub>y</sub>	-	-	0,00	0,00	0,86	-	<b>0,00</b>	0,00
Max.RO <sub>z</sub>	-	-	0,00	0,00	0,86	-	0,00	<b>0,00</b>

Záporné extrémy:

Max. reakce	Kombinace	Styčník	R <sub>x</sub> [kN]	R <sub>y</sub> [kN]	R <sub>z</sub> [kN]	RO <sub>x</sub> [kNm]	RO <sub>y</sub> [kNm]	RO <sub>z</sub> [kNm]
Min.R <sub>x</sub>	-	-	<b>0,00</b>	0,00	0,86	-	0,00	0,00
Min.R <sub>y</sub>	-	-	0,00	<b>0,00</b>	0,86	-	0,00	0,00
Min.R <sub>z</sub>	Kombinace 1	1	0,00	0,00	<b>0,86</b>	-	0,00	0,00
Min.RO <sub>y</sub>	-	-	0,00	0,00	0,86	-	<b>0,00</b>	0,00
Min.RO <sub>z</sub>	-	-	0,00	0,00	0,86	-	0,00	<b>0,00</b>

## 3 Dimenzování

**Norma výpočtu** EN 1993-1-1, EN 1993-1-4

Výpočet je proveden podle České národní přílohy.

**Dílicí součinitele spolehlivosti pro ocelové konstrukce:**

Součinitel únosnosti průřezu  $\gamma_{M0} = 1,000$

Součinitel únosnosti při posouzení stability  $\gamma_{M1} = 1,000$

Součinitel únosnosti oslabeného průřezu  $\gamma_{M2} = 1,250$

**Dílicí součinitele spolehlivosti pro korozivzdornou ocel:**

Součinitel únosnosti průřezu  $\gamma_{M0} = 1,100$

Součinitel únosnosti při posouzení stability  $\gamma_{M1} = 1,100$

Součinitel únosnosti oslabeného průřezu  $\gamma_{M2} = 1,250$

### 3.1 Vstupní data

**Délka dílce:** 0,800 m

**Průřez**

Úsek č.	Počátek [m]	Konec [m]	Průřez	Natočení [°]
1	0,000	0,800	HE 100 A	0,0

**Materiál**

**Název:** EN 10210-1 : S 235

### Vzpěr

**Vzpěr při vybočení kolmo k ose z:**

Úsek č.	Počátek [m]	Konec [m]	Délka pro vzpěr [m]	Souč. vzp. délky $k_z$	Vzpěrná délka $L_{cr,z}$ [m]
1	0,000	0,800	0,800	1,000	0,800

**Vzpěr při vybočení kolmo k ose y:**

Úsek č.	Počátek [m]	Konec [m]	Délka pro vzpěr [m]	Souč. vzp. délky $k_y$	Vzpěrná délka $L_{cr,y}$ [m]
1	0,000	0,800	0,800	1,000	0,800

### Klopení

**Klopení od momentu  $M_y$ :**

Úsek č.	Počátek [m]	Konec [m]	$l_{z1}$ [m]	Tvar momentové plochy	Poloha zatížení
1	0,000	0,800	0,800	Prostý nosník, spojitě zatížení	0,500

**Klopení od momentu  $M_z$ :**

Úsek č.	Počátek [m]	Konec [m]	$l_{y1}$ [m]	Tvar momentové plochy	Poloha zatížení
1	0,000	0,800	0,800	Prostý nosník, spojitě zatížení	0,500

## 3.2 Výsledky

### Celkové posouzení

**Rozhodující zatěžovací případ:** Kombinace č.4 - Q4:G1+G2+G3+Q5; **Třída průřezu:** 1

**Posudek smyku od posouvající síly  $V_z$ :**

2,876 kN < 102,572 kN **Vyhovuje**

Vnitřní síly: N = 0,000 kN;  $M_y = 1,297$  kNm;  $M_z = 0,000$  kNm

**Posudek nejnepříznivější kombinace prostého tahu a ohybu:**

Únosnosti:  $M_{y,R} = 19,507$  kNm

$|0,000 + 0,066 + 0,000| = |0,066| < 1$  **Vyhovuje**

Štíhlost dílce: 31,9

**Průřez vyhovuje**

### Využití

**Využití průřezu:** 6,6 %

PŘEKLAD NADE DVEŘE

## 1 Vstupní údaje

### 1.1 Styčníky

Typ a souřadnice styčníků:

č.	Typ	X [m]	Y [m]	Z [m]
1	globální	0,000	0,000	0,000
2	globální	0,000	1,500	0,000
3	relativní na dílci 1	0,000	0,750	0,000

Podpory styčnicků:

č.	Souř. systém podpory	Posuny [MN/m]			Rotace [MNm]		
		X	Y	Z	X	Y	Z
1	globální	pevná	pevná	pevná	volná	pevná	pevná
2	globální	pevná	volná	pevná	volná	pevná	pevná

## 1.2 Dílce

Typ, topologie a profily dílců:

č.	Typ	Zač. styč.	Kon. styč.	Průřez	Délka	Natočení	Materiál
					[m]	[°]	
1	Nosník	1	2	2 x HE 100 A	1,500	0,00	EN 10210-1 : S 235

Uložení dílců ve styčnicích (0-volné, 1-pevné, tuhost pružiny, míra zabránění deplanaci):

č.	Na začátku dílce							Na konci dílce						
	Posuny [MN/m]			Natočení [MNm]			Bráněno deplanaci	Posuny [MN/m]			Natočení [MNm]			Bráněno deplanaci
	1	2	3	1	2	3		1	2	3	1	2	3	
1	1	1	1	1	1	1	0,000	1	1	1	1	1	1	0,000

## 1.3 Parametry profilů dílců

Průřezové charakteristiky profilů dílců:

Průřez	Plocha průřezu	Smyk. plocha		Mom. setrv.		Sklon hl. os.
	A [mm <sup>2</sup> ]	A <sub>z</sub> [mm <sup>2</sup> ]	A <sub>y</sub> [mm <sup>2</sup> ]	I <sub>y</sub> [mm <sup>4</sup> ]	I <sub>z</sub> [mm <sup>4</sup> ]	φ [°]
2 x HE 100 A	4248	1066	16156	6,98400E+06	69,0510E+06	0,00

Materiálové charakteristiky profilů dílců:

Materiál	Modul pružnosti	Smykový modul	Koef. tepl. rozt.	Měrná tíha
	E [MPa]	G [MPa]	α <sub>t</sub> [1/K]	γ [kN/m <sup>3</sup> ]
EN 10210-1 : S 235	210,0E+03	81,00E+03	12,00E-06	78,50

## 1.4 Zatěžovací stavy

č.	Název	Kód	Typ	γ <sub>f</sub> (γ <sub>f,inf</sub> )*	Součinitele pro kombinace				
					ξ	Ka- teg.**	ψ <sub>0</sub>	ψ <sub>1</sub>	ψ <sub>2</sub>
1	G1 vlastní tíha-stálé	Vlastní tíha	Stálé	1,35(0,90)	0,85	-	-	-	-
2	G2 silové-stálé krytina	Silové	Stálé	1,35(0,90)	0,85	-	-	-	-
3	G3 silové-stálé krov	Silové	Stálé	1,35(0,90)	0,85	-	-	-	-
4	G4 silové-stálé stropy	Silové	Stálé	1,35(0,90)	0,85	-	-	-	-
5	G5 silové-stálé zdivo	Silové	Stálé	1,35(0,90)	0,85	-	-	-	-
6	Q6 silové-proměnné dlouhodobé užité	Silové	Proměnné dlouhodobé	1,50	-	A	0,70	0,50	0,30
7	W7 silové-proměnné krátkodobé vítr	Silové	Proměnné krátkodobé vítr	1,50	-	Vítr	0,60	0,20	0,00
8	S8 silové-proměnné krátkodobé sníh	Silové	Proměnné krátkodobé sníh	1,50	-	H<1000	0,50	0,20	0,00

\* γ<sub>f,inf</sub> pro příznivě působící stálá zatížení

\*\* Kategorie proměnných zatížení podle tabulky A1.1 v EN 1990

## 1.5 Zatížení styčníků

Zatížení styčníků se v konstrukci nevyskytuje.

## 1.6 Zatížení dílců

Dílec	Zatížení dílců
<b>Zatěžovací stav č.2 - G2 silové-stálé krytina</b>	
Dílec č.1 1  ----  2, délka 1,500 m	Spojité silové - Po délce ve směru globální osy Z $f = -2,20 \text{ kN/m}$
<b>Zatěžovací stav č.3 - G3 silové-stálé krov</b>	
Dílec č.1 1  ----  2, délka 1,500 m	Spojité silové - Po délce ve směru globální osy Z $f = -5,00 \text{ kN/m}$
<b>Zatěžovací stav č.4 - G4 silové-stálé stropy</b>	
Dílec č.1 1  ----  2, délka 1,500 m	Spojité silové - Po délce ve směru globální osy Z $f = -24,16 \text{ kN/m}$
<b>Zatěžovací stav č.5 - G5 silové-stálé zdivo</b>	
Dílec č.1 1  ----  2, délka 1,500 m	Spojité silové - Po délce ve směru globální osy Z $f = -26,78 \text{ kN/m}$
<b>Zatěžovací stav č.6 - Q6 silové-proměnné dlouhodobé užité</b>	
Dílec č.1 1  ----  2, délka 1,500 m	Spojité silové - Po délce ve směru globální osy Z $f = -6,00 \text{ kN/m}$
<b>Zatěžovací stav č.7 - W7 silové-proměnné krátkodobé vítr</b>	
Dílec č.1 1  ----  2, délka 1,500 m	Spojité silové - Po délce ve směru globální osy Z $f = -4,00 \text{ kN/m}$
<b>Zatěžovací stav č.8 - S8 silové-proměnné krátkodobé sníh</b>	
Dílec č.1 1  ----  2, délka 1,500 m	Spojité silové - Po délce ve směru globální osy Z $f = -3,20 \text{ kN/m}$

## 1.7 Kombinace pro výpočet podle 1.řádu

**Kombinace 1. řád, pro posouzení mezního stavu únosnosti (MSÚ)**

Čís- lo	Název a druh kombinace Složení
1	G1+G2+G3+G4+G5; základní kombinace $\gamma_{f,sup,1} \cdot G1 + \gamma_{f,sup,2} \cdot G2 + \gamma_{f,sup,3} \cdot G3 + \gamma_{f,sup,4} \cdot G4 + \gamma_{f,sup,5} \cdot G5$
2	S8:G1+G2+G3+G4+G5; základní kombinace $\gamma_{f,sup,1} \cdot G1 + \gamma_{f,sup,2} \cdot G2 + \gamma_{f,sup,3} \cdot G3 + \gamma_{f,sup,4} \cdot G4 + \gamma_{f,sup,5} \cdot G5 + \gamma_{f,sup,8} \cdot S8$
3	W7:G1+G2+G3+G4+G5; základní kombinace $\gamma_{f,sup,1} \cdot G1 + \gamma_{f,sup,2} \cdot G2 + \gamma_{f,sup,3} \cdot G3 + \gamma_{f,sup,4} \cdot G4 + \gamma_{f,sup,5} \cdot G5 + \gamma_{f,sup,7} \cdot W7$
4	W7:G1+G2+G3+G4+G5+S8; základní kombinace $\gamma_{f,sup,1} \cdot G1 + \gamma_{f,sup,2} \cdot G2 + \gamma_{f,sup,3} \cdot G3 + \gamma_{f,sup,4} \cdot G4 + \gamma_{f,sup,5} \cdot G5 + \gamma_{f,sup,7} \cdot W7 + \gamma_{f,sup,8} \cdot \psi_{0,8} \cdot S8$
5	S8:G1+G2+G3+G4+G5+W7; základní kombinace $\gamma_{f,sup,1} \cdot G1 + \gamma_{f,sup,2} \cdot G2 + \gamma_{f,sup,3} \cdot G3 + \gamma_{f,sup,4} \cdot G4 + \gamma_{f,sup,5} \cdot G5 + \gamma_{f,sup,7} \cdot \psi_{0,7} \cdot W7 + \gamma_{f,sup,8} \cdot S8$
6	Q6:G1+G2+G3+G4+G5; základní kombinace $\gamma_{f,sup,1} \cdot G1 + \gamma_{f,sup,2} \cdot G2 + \gamma_{f,sup,3} \cdot G3 + \gamma_{f,sup,4} \cdot G4 + \gamma_{f,sup,5} \cdot G5 + \gamma_{f,sup,6} \cdot Q6$
7	Q6:G1+G2+G3+G4+G5+S8; základní kombinace $\gamma_{f,sup,1} \cdot G1 + \gamma_{f,sup,2} \cdot G2 + \gamma_{f,sup,3} \cdot G3 + \gamma_{f,sup,4} \cdot G4 + \gamma_{f,sup,5} \cdot G5 + \gamma_{f,sup,6} \cdot Q6 + \gamma_{f,sup,8} \cdot \psi_{0,8} \cdot S8$
8	S8:G1+G2+G3+G4+G5+Q6; základní kombinace $\gamma_{f,sup,1} \cdot G1 + \gamma_{f,sup,2} \cdot G2 + \gamma_{f,sup,3} \cdot G3 + \gamma_{f,sup,4} \cdot G4 + \gamma_{f,sup,5} \cdot G5 + \gamma_{f,sup,6} \cdot \psi_{0,6} \cdot Q6 + \gamma_{f,sup,8} \cdot S8$
9	Q6:G1+G2+G3+G4+G5+W7; základní kombinace $\gamma_{f,sup,1} \cdot G1 + \gamma_{f,sup,2} \cdot G2 + \gamma_{f,sup,3} \cdot G3 + \gamma_{f,sup,4} \cdot G4 + \gamma_{f,sup,5} \cdot G5 + \gamma_{f,sup,6} \cdot Q6 + \gamma_{f,sup,7} \cdot \psi_{0,7} \cdot W7$

Čís- lo	Název a druh kombinace Složení
10	W7:G1+G2+G3+G4+G5+Q6; základní kombinace $\gamma_{f,sup,1} * G1 + \gamma_{f,sup,2} * G2 + \gamma_{f,sup,3} * G3 + \gamma_{f,sup,4} * G4 + \gamma_{f,sup,5} * G5 + \gamma_{f,sup,6} * \psi_{0,6} * Q6 + \gamma_{f,sup,7} * W7$
11	Q6:G1+G2+G3+G4+G5+W7+S8; základní kombinace $\gamma_{f,sup,1} * G1 + \gamma_{f,sup,2} * G2 + \gamma_{f,sup,3} * G3 + \gamma_{f,sup,4} * G4 + \gamma_{f,sup,5} * G5 + \gamma_{f,sup,6} * Q6 + \gamma_{f,sup,7} * \psi_{0,7} * W7 + \gamma_{f,sup,8} * \psi_{0,8} * S8$
12	W7:G1+G2+G3+G4+G5+Q6+S8; základní kombinace $\gamma_{f,sup,1} * G1 + \gamma_{f,sup,2} * G2 + \gamma_{f,sup,3} * G3 + \gamma_{f,sup,4} * G4 + \gamma_{f,sup,5} * G5 + \gamma_{f,sup,6} * \psi_{0,6} * Q6 + \gamma_{f,sup,7} * W7 + \gamma_{f,sup,8} * \psi_{0,8} * S8$
13	S8:G1+G2+G3+G4+G5+Q6+W7; základní kombinace $\gamma_{f,sup,1} * G1 + \gamma_{f,sup,2} * G2 + \gamma_{f,sup,3} * G3 + \gamma_{f,sup,4} * G4 + \gamma_{f,sup,5} * G5 + \gamma_{f,sup,6} * \psi_{0,6} * Q6 + \gamma_{f,sup,7} * \psi_{0,7} * W7 + \gamma_{f,sup,8} * S8$

**Kombinace 1. řád, pro posouzení mezního stavu použitelnosti (MSP)**

Číslo	Název a druh kombinace Složení
1	G1+G2+G3+G4+G5; charakteristická kombinace $G1 + G2 + G3 + G4 + G5$
2	S8:G1+G2+G3+G4+G5; charakteristická kombinace $G1 + G2 + G3 + G4 + G5 + S8$
3	W7:G1+G2+G3+G4+G5; charakteristická kombinace $G1 + G2 + G3 + G4 + G5 + W7$
4	W7:G1+G2+G3+G4+G5+S8; charakteristická kombinace $G1 + G2 + G3 + G4 + G5 + W7 + \psi_{0,8} * S8$
5	S8:G1+G2+G3+G4+G5+W7; charakteristická kombinace $G1 + G2 + G3 + G4 + G5 + \psi_{0,7} * W7 + S8$
6	Q6:G1+G2+G3+G4+G5; charakteristická kombinace $G1 + G2 + G3 + G4 + G5 + Q6$
7	Q6:G1+G2+G3+G4+G5+S8; charakteristická kombinace $G1 + G2 + G3 + G4 + G5 + Q6 + \psi_{0,8} * S8$
8	S8:G1+G2+G3+G4+G5+Q6; charakteristická kombinace $G1 + G2 + G3 + G4 + G5 + \psi_{0,6} * Q6 + S8$
9	Q6:G1+G2+G3+G4+G5+W7; charakteristická kombinace $G1 + G2 + G3 + G4 + G5 + Q6 + \psi_{0,7} * W7$
10	W7:G1+G2+G3+G4+G5+Q6; charakteristická kombinace $G1 + G2 + G3 + G4 + G5 + \psi_{0,6} * Q6 + W7$
11	Q6:G1+G2+G3+G4+G5+W7+S8; charakteristická kombinace $G1 + G2 + G3 + G4 + G5 + Q6 + \psi_{0,7} * W7 + \psi_{0,8} * S8$
12	W7:G1+G2+G3+G4+G5+Q6+S8; charakteristická kombinace $G1 + G2 + G3 + G4 + G5 + \psi_{0,6} * Q6 + W7 + \psi_{0,8} * S8$
13	S8:G1+G2+G3+G4+G5+Q6+W7; charakteristická kombinace $G1 + G2 + G3 + G4 + G5 + \psi_{0,6} * Q6 + \psi_{0,7} * W7 + S8$

## 2 Výsledky

### 2.1 Deformace pro kombinace I.řádu, MSP

#### 2.1.1 Extrémy deformací

**Kombinace 1. řád, pro posouzení mezního stavu použitelnosti (MSP)**

Kladné extrémy:

Deformace	Kombinace	Styčník	Hodnota
Posun X	-	-	0,0 mm
Posun Y	-	-	0,0 mm
Posun Z	-	-	0,0 mm
Rotace X	Kombinace 11	2	6,6 mrad
Rotace Y	-	-	0,0 mrad
Rotace Z	-	-	0,0 mrad

Záporné extrémy:

Deformace	Kombinace	Styčník	Hodnota
Posun X	-	-	0,0 mm
Posun Y	-	-	0,0 mm
Posun Z	Kombinace 11	3	-3,1 mm
Rotace X	Kombinace 11	1	-6,6 mrad
Rotace Y	-	-	0,0 mrad
Rotace Z	-	-	0,0 mrad

### 2.2 Vnitřní síly v s. s. průřezu pro kombinace I.řádu, MSÚ

#### 2.2.1 Extrémy vnitřních sil

**Kombinace 1. řád, pro posouzení mezního stavu únosnosti (MSÚ)**

Kladné extrémy:

Síla	Kombinace I.řád, MSÚ	Dílec	Pozice	Hodnota
N				
V <sub>y</sub>				
V <sub>z</sub>	Kombinace č.11	Dílec č.1 - 1  ----  2, délka 1,500 m	1,500 m	70,45 kN
M <sub>y</sub>	Kombinace č.11	Dílec č.1 - 1  ----  2, délka 1,500 m	0,750 m	26,42 kNm
M <sub>z</sub>				

Záporné extrémy:

Síla	Kombinace I.řád, MSÚ	Dílec	Pozice	Hodnota
N				
V <sub>y</sub>				
V <sub>z</sub>	Kombinace č.11	Dílec č.1 - 1  ----  2, délka 1,500 m	0,000 m	-70,45 kN
M <sub>y</sub>				
M <sub>z</sub>				

### 2.3 Vnitřní síly v s. s. průřezu pro kombinace I.řádu, MSP

#### 2.3.1 Extrémy vnitřních sil

**Kombinace 1. řád, pro posouzení mezního stavu použitelnosti (MSP)**

Kladné extrémy:

Síla	Kombinace I.řád, MSP	Dílec	Pozice	Hodnota
N				
V <sub>y</sub>				
V <sub>z</sub>	Kombinace č.11	Dílec č.1 - 1  ----  2, délka 1,500 m	1,500 m	51,36 kN



Síla	Kombinace I.řád, MSP	Dílec	Pozice	Hodnota
$M_y$	Kombinace č.11	Dílec č.1 - 1  ----  2, délka 1,500 m	0,750 m	19,26 kNm
$M_z$				

Záporné extrémy:

Síla	Kombinace I.řád, MSP	Dílec	Pozice	Hodnota
N				
$V_y$				
$V_z$	Kombinace č.11	Dílec č.1 - 1  ----  2, délka 1,500 m	0,000 m	-51,36 kN
$M_y$				
$M_z$				

## 2.4 Reakce pro kombinace I.řádu, MSÚ

### 2.4.1 Extrémy reakcí

Kombinace 1. řád, pro posouzení mezního stavu únosnosti (MSÚ)

Kladné extrémy:

Max. reakce	Kombinace	Styčník	$R_x$ [kN]	$R_y$ [kN]	$R_z$ [kN]	$RO_x$ [kNm]	$RO_y$ [kNm]	$RO_z$ [kNm]
Max. $R_x$	-	-	<b>0,00</b>	0,00	59,20	-	0,00	0,00
Max. $R_y$	-	-	0,00	<b>0,00</b>	59,20	-	0,00	0,00
Max. $R_z$	Kombinace 11	1	0,00	0,00	<b>70,45</b>	-	0,00	0,00
Max. $RO_y$	-	-	0,00	0,00	59,20	-	<b>0,00</b>	0,00
Max. $RO_z$	-	-	0,00	0,00	59,20	-	0,00	<b>0,00</b>

Záporné extrémy:

Max. reakce	Kombinace	Styčník	$R_x$ [kN]	$R_y$ [kN]	$R_z$ [kN]	$RO_x$ [kNm]	$RO_y$ [kNm]	$RO_z$ [kNm]
Min. $R_x$	-	-	<b>0,00</b>	0,00	59,20	-	0,00	0,00
Min. $R_y$	-	-	0,00	<b>0,00</b>	59,20	-	0,00	0,00
Min. $R_z$	Kombinace 1	1	0,00	0,00	<b>59,20</b>	-	0,00	0,00
Min. $RO_y$	-	-	0,00	0,00	59,20	-	<b>0,00</b>	0,00
Min. $RO_z$	-	-	0,00	0,00	59,20	-	0,00	<b>0,00</b>

## 2.5 Reakce pro kombinace I.řádu, MSP

### 2.5.1 Extrémy reakcí

Kombinace 1. řád, pro posouzení mezního stavu použitelnosti (MSP)

Kladné extrémy:

Max. reakce	Kombinace	Styčník	$R_x$ [kN]	$R_y$ [kN]	$R_z$ [kN]	$RO_x$ [kNm]	$RO_y$ [kNm]	$RO_z$ [kNm]
Max. $R_x$	-	-	<b>0,00</b>	0,00	43,86	-	0,00	0,00
Max. $R_y$	-	-	0,00	<b>0,00</b>	43,86	-	0,00	0,00
Max. $R_z$	Kombinace 11	1	0,00	0,00	<b>51,36</b>	-	0,00	0,00
Max. $RO_y$	-	-	0,00	0,00	43,86	-	<b>0,00</b>	0,00
Max. $RO_z$	-	-	0,00	0,00	43,86	-	0,00	<b>0,00</b>

Záporné extrémy:

Max. reakce	Kombinace	Styčník	$R_x$ [kN]	$R_y$ [kN]	$R_z$ [kN]	$RO_x$ [kNm]	$RO_y$ [kNm]	$RO_z$ [kNm]
Min. $R_x$	-	-	<b>0,00</b>	0,00	43,86	-	0,00	0,00
Min. $R_y$	-	-	0,00	<b>0,00</b>	43,86	-	0,00	0,00
Min. $R_z$	Kombinace 1	1	0,00	0,00	<b>43,86</b>	-	0,00	0,00
Min. $RO_y$	-	-	0,00	0,00	43,86	-	<b>0,00</b>	0,00
Min. $RO_z$	-	-	0,00	0,00	43,86	-	0,00	<b>0,00</b>

### 3 Dimenzování

**Norma výpočtu** EN 1993-1-1, EN 1993-1-4

Výpočet je proveden podle České národní přílohy.

**Dílčí součinitele spolehlivosti pro ocelové konstrukce:**

Součinitel únosnosti průřezu  $\gamma_{M0} = 1,000$

Součinitel únosnosti při posouzení stability  $\gamma_{M1} = 1,000$

Součinitel únosnosti oslabeného průřezu  $\gamma_{M2} = 1,250$

**Dílčí součinitele spolehlivosti pro korozivzdornou ocel:**

Součinitel únosnosti průřezu  $\gamma_{M0} = 1,100$

Součinitel únosnosti při posouzení stability  $\gamma_{M1} = 1,100$

Součinitel únosnosti oslabeného průřezu  $\gamma_{M2} = 1,250$

### 3.1 Vstupní data

**Délka dílce:** 1,500 m

**Průřez**

Úsek č.	Počátek [m]	Konec [m]	Průřez	Natočení [°]
1	0,000	1,500	2 x HE 100 A	0,0

**Materiál**

**Název:** EN 10210-1 : S 235

**Spojky**

**2 x HE 100 A:**

Rámové spojky ve vzdálenostech 0,300 m

Výška spojky = 50,0 mm

Tloušťka spojky = 5,0 mm

**Vzpěr**

**Vzpěr při vybočení kolmo k ose z:**

Úsek č.	Počátek [m]	Konec [m]	Délka pro vzpěr [m]	Souč. vzp. délky $k_z$	Vzpěrná délka $L_{cr,z}$ [m]
1	0,000	1,500	1,500	1,000	1,500

Vzpěr při vybočení kolmo k ose y:

Úsek č.	Počátek [m]	Konec [m]	Délka pro vzpěr [m]	Souč. vzp. délky $k_y$	Vzpěrná délka $L_{cr,y}$ [m]
1	0,000	1,500	1,500	1,000	1,500

Klopení

Klopení od momentu  $M_y$ :

Úsek č.	Počátek [m]	Konec [m]	$I_{z1}$ [m]	Tvar momentové plochy	Poloha zatížení
1	0,000	1,500	1,500	Prostý nosník, spojitě zatížení	0,500

Klopení od momentu  $M_z$ :

Úsek č.	Počátek [m]	Konec [m]	$I_{y1}$ [m]	Tvar momentové plochy	Poloha zatížení
1	0,000	1,500	1,500	Prostý nosník, spojitě zatížení	0,500

## 3.2 Výsledky

Celkové posouzení

**Rozhodující zatěžovací případ:** Kombinace č.11 - Q6:G1+G2+G3+G4+G5+W7+S8; **Třída průřezu:** 1

Vnitřní síly:  $N = 0,000$  kN;  $M_y = 26,420$  kNm;  $M_z = 0,000$  kNm

**Posudek namáhání kombinace tahu a ohybu:**

Vnitřní síly na dílčím prutu:  $M_{y,ch} = 13,210$  kNm

Únosnosti:  $M_{y,R} = 19,508$  kNm

$|0,000 + 0,677 + 0,000| = |0,677| < 1$  **Vyhovuje**

Štíhlost dílce: 37,0

**Průřez vyhovuje**

Využití

Využití průřezu: 67,7 %

ZAKRYTÍ KANÁLU

## 1 Vstupní údaje

### 1.1 Styčníky

Typ a souřadnice styčnicků:

č.	Typ	X [m]	Y [m]	Z [m]
1	globální	0,000	0,000	0,000
2	globální	0,000	1,000	0,000
3	relativní na dílci 1	0,000	0,500	0,000

Podpory styčnicků:

č.	Souř. systém podpory	Posuny [MN/m]			Rotace [MNm]		
		X	Y	Z	X	Y	Z
1	globální	pevná	pevná	pevná	volná	pevná	pevná
2	globální	pevná	volná	pevná	volná	pevná	pevná

## 1.2 Dílce

Typ, topologie a profily dílců:

č.	Typ	Zač. styč.	Kon. styč.	Průřez	Délka [m]	Natočení [°]	Materiál
1	Nosník	1	2	obdélník 1000x80	1,000	0,00	C 20/25

Uložení dílců ve styčnicích (0-volné, 1-pevné, tuhost pružiny, míra zabránění deplanaci):

č.	Na začátku dílce							Na konci dílce						
	Posuny [MN/m]			Natočení [MNm]			Bráněno deplanaci	Posuny [MN/m]			Natočení [MNm]			Bráněno deplanaci
	1	2	3	1	2	3		1	2	3	1	2	3	
1	1	1	1	1	1	1	0,000	1	1	1	1	1	1	0,000

## 1.3 Parametry profilů dílců

Průřezové charakteristiky profilů dílců:

Průřez	Plocha průřezu	Smyk. plocha		Mom. setrv.		Sklon hl. os.
	A [mm <sup>2</sup> ]	A <sub>z</sub> [mm <sup>2</sup> ]	A <sub>y</sub> [mm <sup>2</sup> ]	I <sub>y</sub> [mm <sup>4</sup> ]	I <sub>z</sub> [mm <sup>4</sup> ]	φ [°]
obdélník 1000x80	80000	66667	66667	42,6667E+06	6,66667E+09	0,00

Materiálové charakteristiky profilů dílců:

Materiál	Modul pružnosti	Smykový modul	Koef. tepl. rozt.	Měrná tíha
	E [MPa]	G [MPa]	α <sub>t</sub> [1/K]	γ [kN/m <sup>3</sup> ]
C 20/25	30,00E+03	12,50E+03	10,00E-06	25,00

## 1.4 Zatěžovací stavy

č.	Název	Kód	Typ	γ <sub>f</sub> (γ <sub>f,inf</sub> )*	Součinitele pro kombinace				
					ξ	Kateg.**	ψ <sub>0</sub>	ψ <sub>1</sub>	ψ <sub>2</sub>
1	G1 vlastní tíha-stálé	Vlastní tíha	Stálé	1,35(0,90)	0,85	-	-	-	-
2	G2 silové-stálé podlaha	Silové	Stálé	1,35(0,90)	0,85	-	-	-	-
3	Q3 silové-proměnné užité	Silové	Proměnné dlouhodobé	1,50	-	D	0,70	0,70	0,60

\* γ<sub>f,inf</sub> pro příznivě působící stálá zatížení

\*\* Kategorie proměnných zatížení podle tabulky A1.1 v EN 1990

## 1.5 Zatížení styčníků

Zatížení styčníků se v konstrukci nevyskytuje.

## 1.6 Zatížení dílců

Dílec	Zatížení dílců
Zatěžovací stav č.2 - G2 silové-stálé podlaha	
Dílec č.1 1  ----  2, délka 1,000 m	Spojité silové - Po délce ve směru globální osy Z f = -0,66 kN/m
Zatěžovací stav č.3 - Q3 silové-proměnné užité	
Dílec č.1 1  ----  2, délka 1,000 m	Spojité silové - Po délce ve směru globální osy Z f = -0,68 kN/m

## 1.7 Kombinace pro výpočet podle 1.řádu

Kombinace 1. řád, pro posouzení mezního stavu únosnosti (MSÚ)

Číslo	Název a druh kombinace
	Složení
1	G1+G2; základní kombinace
	γ <sub>f,sup,1</sub> *G1 + γ <sub>f,sup,2</sub> *G2

Číslo	Název a druh kombinace
	Složení
2	Q3:G1+G2; základní kombinace
	$\gamma_{f,sup,1} \cdot G1 + \gamma_{f,sup,2} \cdot G2 + \gamma_{f,sup,3} \cdot Q3$

#### Kombinace 1. řád, pro posouzení mezního stavu použitelnosti (MSP)

Číslo	Název a druh kombinace
	Složení
1	G1+G2; charakteristická kombinace
	G1 + G2
2	Q3:G1+G2; charakteristická kombinace
	G1 + G2 + Q3

## 2 Výsledky

### 2.1 Deformace pro kombinace I.řádu, MSP

#### 2.1.1 Extrémy deformací

#### Kombinace 1. řád, pro posouzení mezního stavu použitelnosti (MSP)

Kladné extrémy:

Deformace	Kombinace	Styčník	Hodnota
Posun X	-	-	0,0 mm
Posun Y	-	-	0,0 mm
Posun Z	-	-	0,0 mm
Rotace X	Kombinace 2	2	0,1 mrad
Rotace Y	-	-	0,0 mrad
Rotace Z	-	-	0,0 mrad

Záporné extrémy:

Deformace	Kombinace	Styčník	Hodnota
Posun X	-	-	0,0 mm
Posun Y	-	-	0,0 mm
Posun Z	-	-	0,0 mm
Rotace X	Kombinace 2	1	-0,1 mrad
Rotace Y	-	-	0,0 mrad
Rotace Z	-	-	0,0 mrad

### 2.2 Vnitřní síly v s. s. průřezu pro kombinace I.řádu, MSÚ

#### 2.2.1 Extrémy vnitřních sil

#### Kombinace 1. řád, pro posouzení mezního stavu únosnosti (MSÚ)

Kladné extrémy:

Síla	Kombinace I.řád, MSÚ	Dílec	Pozice	Hodnota
N				
V <sub>y</sub>				
V <sub>z</sub>	Kombinace č.2	Dílec č.1 - 1  ----  2, délka 1,000 m	1,000 m	2,31 kN
M <sub>y</sub>	Kombinace č.2	Dílec č.1 - 1  ----  2, délka 1,000 m	0,500 m	0,58 kNm
M <sub>z</sub>				

Záporné extrémy:

Síla	Kombinace I.řád, MSÚ	Dílec	Pozice	Hodnota
N				
V <sub>y</sub>				

Síla	Kombinace I.řád, MSÚ	Dílec	Pozice	Hodnota
V <sub>z</sub>	Kombinace č.2	Dílec č.1 - 1  ----  2, délka 1,000 m	0,000 m	-2,31 kN
M <sub>y</sub>				
M <sub>z</sub>				

## 2.3 Vnitřní síly v s. s. průřezu pro kombinace I.řádu, MSP

### 2.3.1 Extrémy vnitřních sil

Kombinace 1. řád, pro posouzení mezního stavu použitelnosti (MSP)

Kladné extrémy:

Síla	Kombinace I.řád, MSP	Dílec	Pozice	Hodnota
N				
V <sub>y</sub>				
V <sub>z</sub>	Kombinace č.2	Dílec č.1 - 1  ----  2, délka 1,000 m	1,000 m	1,67 kN
M <sub>y</sub>	Kombinace č.2	Dílec č.1 - 1  ----  2, délka 1,000 m	0,500 m	0,42 kNm
M <sub>z</sub>				

Záporné extrémy:

Síla	Kombinace I.řád, MSP	Dílec	Pozice	Hodnota
N				
V <sub>y</sub>				
V <sub>z</sub>	Kombinace č.2	Dílec č.1 - 1  ----  2, délka 1,000 m	0,000 m	-1,67 kN
M <sub>y</sub>				
M <sub>z</sub>				

## 2.4 Reakce pro kombinace I.řádu, MSÚ

### 2.4.1 Extrémy reakcí

Kombinace 1. řád, pro posouzení mezního stavu únosnosti (MSÚ)

Kladné extrémy:

Max. reakce	Kombinace	Styčník	R <sub>x</sub> [kN]	R <sub>y</sub> [kN]	R <sub>z</sub> [kN]	RO <sub>x</sub> [kNm]	RO <sub>y</sub> [kNm]	RO <sub>z</sub> [kNm]
Max.R <sub>x</sub>	-	-	<b>0,00</b>	0,00	1,80	-	0,00	0,00
Max.R <sub>y</sub>	-	-	0,00	<b>0,00</b>	1,80	-	0,00	0,00
Max.R <sub>z</sub>	Kombinace 2	1	0,00	0,00	<b>2,31</b>	-	0,00	0,00
Max.RO <sub>y</sub>	-	-	0,00	0,00	1,80	-	<b>0,00</b>	0,00
Max.RO <sub>z</sub>	-	-	0,00	0,00	1,80	-	0,00	<b>0,00</b>

Záporné extrémy:

Max. reakce	Kombinace	Styčník	R <sub>x</sub> [kN]	R <sub>y</sub> [kN]	R <sub>z</sub> [kN]	RO <sub>x</sub> [kNm]	RO <sub>y</sub> [kNm]	RO <sub>z</sub> [kNm]
Min.R <sub>x</sub>	-	-	<b>0,00</b>	0,00	1,80	-	0,00	0,00
Min.R <sub>y</sub>	-	-	0,00	<b>0,00</b>	1,80	-	0,00	0,00
Min.R <sub>z</sub>	Kombinace 1	1	0,00	0,00	<b>1,80</b>	-	0,00	0,00
Min.RO <sub>y</sub>	-	-	0,00	0,00	1,80	-	<b>0,00</b>	0,00
Min.RO <sub>z</sub>	-	-	0,00	0,00	1,80	-	0,00	<b>0,00</b>

## 2.5 Reakce pro kombinace I.řádu, MSP

### 2.5.1 Extrémy reakcí

Kombinace 1. řád, pro posouzení mezního stavu použitelnosti (MSP)

Kladné extrémy:

Max. reakce	Kombinace	Styčník	$R_x$ [kN]	$R_y$ [kN]	$R_z$ [kN]	$RO_x$ [kNm]	$RO_y$ [kNm]	$RO_z$ [kNm]
Max. $R_x$	-	-	<b>0,00</b>	0,00	1,33	-	0,00	0,00
Max. $R_y$	-	-	0,00	<b>0,00</b>	1,33	-	0,00	0,00
Max. $R_z$	Kombinace 2	1	0,00	0,00	<b>1,67</b>	-	0,00	0,00
Max. $RO_y$	-	-	0,00	0,00	1,33	-	<b>0,00</b>	0,00
Max. $RO_z$	-	-	0,00	0,00	1,33	-	0,00	<b>0,00</b>

Záporné extrémy:

Max. reakce	Kombinace	Styčník	$R_x$ [kN]	$R_y$ [kN]	$R_z$ [kN]	$RO_x$ [kNm]	$RO_y$ [kNm]	$RO_z$ [kNm]
Min. $R_x$	-	-	<b>0,00</b>	0,00	1,33	-	0,00	0,00
Min. $R_y$	-	-	0,00	<b>0,00</b>	1,33	-	0,00	0,00
Min. $R_z$	Kombinace 1	1	0,00	0,00	<b>1,33</b>	-	0,00	0,00
Min. $RO_y$	-	-	0,00	0,00	1,33	-	<b>0,00</b>	0,00
Min. $RO_z$	-	-	0,00	0,00	1,33	-	0,00	<b>0,00</b>

## 3 Dimenzování

### Norma

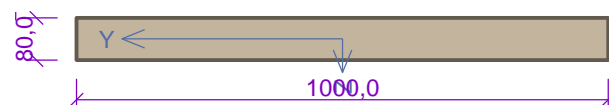
Norma výpočtu **EN 1992-1-1/Česko**.

Únosnost betonu - základní kombinace zatížení	: $\gamma_C$ = 1,500
Únosnost výztuže - základní kombinace zatížení	: $\gamma_S$ = 1,150
Únosnost betonu - mimořádná kombinace zatížení	: $\gamma_C$ = 1,200
Únosnost výztuže - mimořádná kombinace zatížení	: $\gamma_S$ = 1,000
Modul pružnosti betonu	: $\gamma_{cE}$ = 1,200
Tlaková pevnost betonu	: $\alpha_{cc}$ = 1,000

### 3.1 Vstupní data

Typ prvku: deska  
Prostředí: XC1  
Délka dílce: 1,00m

#### Průřez



#### Materiály

**Beton : C 20/25**

$f_{ck} = 20,0$  MPa;  $f_{ctm} = 2,2$  MPa;  $E_{cm} = 30000$  MPa

**Ocel podélná : B500** ( $f_{yk} = 500,0$  MPa;  $E_s = 200000$  MPa)

**Ocel příčná : B500** ( $f_{yk} = 500,0$  MPa;  $E_s = 200000$  MPa)

### Vyztužení

Úsek č.: 1, (0,00m - 1,00m)

Počet	Profil [mm]	Krytí [mm]	Umístění
6,667	8	33,0	dolní výztuž



6,667x8(po 150,0mm) kr. 33,0

### Vyztužení - podrobnosti

Úsek č.: 1, (0,00m - 1,00m)

Číslo	Y [mm]	Z [mm]	Profil [mm]
1	37,0	37,0	8
2	963,0	37,0	8
3	200,4	37,0	8
4	799,6	37,0	8
5	363,8	37,0	8
6	636,2	37,0	8
7	500,0	37,0	6,53197

Počátek souřadného systému je v levém dolním rohu obálky průřezu

S tlačnou výztuží je počítáno.

### Minimální krytí

Třída konstrukce: S4

$$c_{\min} = \max(c_{\min,b}; c_{\min,dur}; 10) = \max(8; 15; 10) = 15 \text{ mm}$$

$$c_{\text{nom}} = c_{\min} + \Delta c_{\text{dev}} = 15 + 10 = 25 \text{ mm}$$

## 3.2 Výsledky

Kritický řez v bodě x = 0,500m - Kombinace č.2 - Q3:G1+G2

### Posouzení min. a max. stupně vyztužení

Deska (tažená výztuž - minimum, celková výztuž - maximum):

$$\rho_{s,t} = 0,00779 \geq \rho_{s,\min} = 0,0013 \Rightarrow \text{Vyhovuje}$$

$$\rho_s = 0,00419 \leq \rho_{s,\max} = 0,04 \Rightarrow \text{Vyhovuje}$$

### Posouzení mezního stavu únosnosti

Kombinace č.2 - Q3:G1+G2

$$M_{Edy} = 0,58 \leq M_{Rdy} = 5,49 \text{ kNm}$$

$$M_{Edz} = 0,00 \leq M_{Rdz} = 0,00 \text{ kNm}$$

**Posouzení průřezu na ohyb Vyhovuje**

Využití: 10,5 %

Průřez není namáhán smykem.

Průřez není namáhán kroucením.

**Mezní stav únosnosti VYHOVUJE**

**Celkové posouzení - Průřez VYHOVUJE**

Využití průřezu: 10,5 %



## **ZÁVĚR**

Veškeré posuzované konstrukce vyhovují při splnění vstupních podmínek na oba mezní stavy. Podpěry pod zásobníky budou umístěny vždy kolmo na osu kanálu tak, aby byly konce mimo obrys kanálu o min. 150 mm. (viz příloha č. 1) Statický výpočet obsahuje 26 stran a je vyhotoven v šesti stejnopisech.

V Rychnově nad Kněžnou 28. 7. 2017

Ing J. Viesner

Př. č. 1 podložení bojlerů

